

降雨パターンの違いによる雨水の不飽和浸透に関する研究

山口 大学 正 員 村田 秀一

鹿兒島高專 正員 ○ 岡林 巧

鹿兒島高專 學生員 石田尾悟

鹿兒島高專 學生員 川崎 健

1. まえがき

南九州 やその 他の 地方に 広く分 布する 軽石流 堆積土 である しらす 斜面 は、降 雨や 地震などに よるた び重なる自然災害の 故に 最も崩 壊性の 高い土 質で できて いると され ている。このしらす 斜面 の 特性 の 1つは、南九州 が日本でも 有数 の 多雨 地域 に 属す こと より、 降雨 を 多く 受ける ところ にある。集中豪 雨時 の 斜面 の 崩壊 灾害 は、 斜面 内部への 雨水 の 浸透 量の 程度 や 浸透 速度 によって 大きく 異なる。雨水 から 浸透 ある 斜面 の 崩壊 に 關しては、 従来 より 数多く の 研究 がな されて いる。しかしながら、その 機構 が 複雑 である ため に 現位置での 防災 に 適用 され るまでに 致って いないのが 現状 である。本 研究は、 降雨 下における しらす 斜面 の 安定性 を 検討する 基礎 として、 降雨 パターン の 違い による 雨水 の 不飽和 浸透 特性 に 關して 主として 考察 した ものである。

2. 雨水の不飽和浸透モデル

図-1 は、雨水の不飽和浸透モデルを示したものである。浸透強度 I 、飽和浸透速度 I_s' 及び不飽和浸透速度 I_s の間には次のような関係式が成立つ。

$$I_V = (100/Sr) + (100/n) + I \dots \dots \dots \dots \quad (3)$$

ここに、 n : 間隙率、 S_r : 饱和度である。また、降雨下における雨水の浸透速度 I_v はこれまでの著者らの浸透試験の結果³⁾、不饱和最終速度 I_c 、不饱和初期浸透速度 I_0 、浸透定数 k 及び降雨時間 t とすると次式で表示し得る。

$$I_v = I_c \pm (I_0 - I_c) \exp(-k_b t) \dots \dots \dots \quad (4)$$

さらに、降雨停止とともに回復時の不飽和浸透速度 I_V は、初期回復浸透速度 I_1 及び回復浸透定数 β とすると次式で表示できるものとした。

$$I_v = I_o + (I_1 - I_o) \exp(-\beta \cdot t) \quad \dots \quad (5)$$

3. 試料 及其 実驗方法

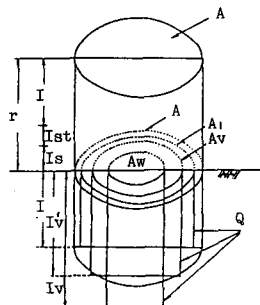
雨水の不饱和浸透特性を解明するため、図-2に示すような一次元不饱和浸透装置を用いた。降雨パターンを表-2に示す。使用した試料は、始良しらすである。

供試体 試料 の 状態は 亂した 状態 で
ある。表一 1 に実験 時の 試 料の 指
数的 性質 を示す。

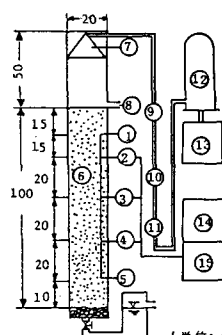
表-1 試料の指標的性質

実験番号	初期水比 (%)	初期薄鋼度 (g/cm ²)	初期乾燥度 (%)	比重	初期強度比	初期強度率 (%)	試料
1	2.0	1.168	1.145	2.43	1.08	51.9	しらす
2	1.6	1.168	1.150	2.43	1.08	51.9	しらす
3	1.9	1.189	1.158	2.43	1.06	51.0	しらす

表-2 實驗條件



r：降雨強度 I：浸透強度
 Ist：貯留強度 Is：流出強度
 Iv：飽和浸透速度 Iv：不飽和
 浸透速度 A：浸透斷面積 Q：浸
 透流入水量



①-⑤：間隙空気圧計 ⑩：流量計
 ②-④：間隙水圧計 ⑪：レギュレータ
 ⑥：試料 ⑫：貯水タンク
 ⑦：ノズル ⑬：ポンプ
 ⑧：上部排水口 ⑭：タイマー
 ⑨：フルード管 ⑮：記録計

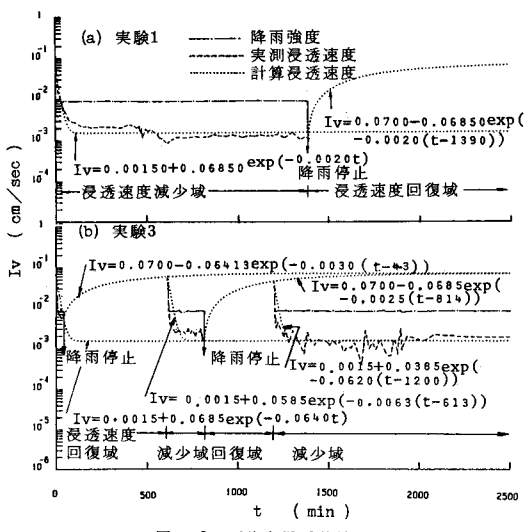


図-3 不飽和浸透特性

4. 実験結果及び考察

不飽和浸透速度 Iv と降雨時間の関係を連続、断続降雨パターンの実験1及び3について示したものが図-3である。いずれの降雨条件に関しても降雨にともなった地盤の有する不飽和浸透速度は、比較的実測値と計算値が一致している。この不飽和浸透速度は、200分程度で定常化し、最終浸透速度に達する傾向を示している。また、最終浸透速度は、降雨時間によらずほぼ一定値を示している。これらのことから、地盤の有する雨水の最終浸透速度は、降雨強度と地盤の指指数性質が同一の条件のもとで、降雨パターンに関係せず固有値を示すものと考えられる。一方、初期浸透速度は、降雨パターンに左右され、降雨停止時間が短いほど小さな値を示すと言える。図-4は、間隙水圧と降雨時間の関係を示したものである。間隙水圧は、降雨時間の増大とともに下層部ほど大きな値を示す傾向にある。また、浸潤前線が下端まで達した時点で下部排水をしたが、間隙水圧は急減する傾向している。さらに、断続降雨の実験3のそれは、連続降雨条件に比べて発現が遅れている。これは、降雨停止とともに浸潤前線の降下速度が急減したことによるものである。間隙空気圧と降雨時間の関係を示したものが図-5である。間隙空気圧は、浸潤前線の降下とともに下部ほど高い圧力状態を示す傾向にある。この間隙空気圧の挙動は、間隙水圧とほぼ同様である。ただ、実験1の例からわかるように、連続降雨パターンの場合の間隙空気圧は、間隙水圧に比べて下部排水の影響を受けにくいうようである。

5. あとがき 本研究では、まず不飽和浸透モデルを用いることにより各種の降雨パターンに関する不飽和浸透特性がほぼ明らかになつた。次に、降雨パターンと間隙水圧及び間隙空気圧の挙動を把握できた。

最後に、本研究を進めるにあたり、懇切な御指導をいただいた九州大学工学部山内豊聰教授に感謝の意を表する。

参考文献 1) 春山元寿、下川悦郎：昭和47年豪雨によって発生した斜面崩壊の実態、土と基礎、Vol.21、No.7、p13~16、1973

2) 山内豊聰、木村大造：防災を中心としたシラスの問題点、土木学会誌、Vol.154、No.11、p9~20、1969

3) 村田秀一、岡林巧、下坂一幸、繁昌誠吾：砂質土地盤における雨水の不飽和流動機構に関する研究、土木学会西部、p284~285、1984

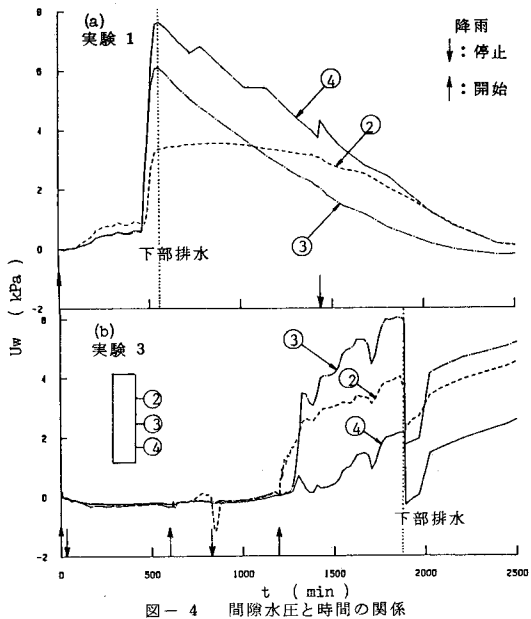


図-4 間隙水圧と時間の関係

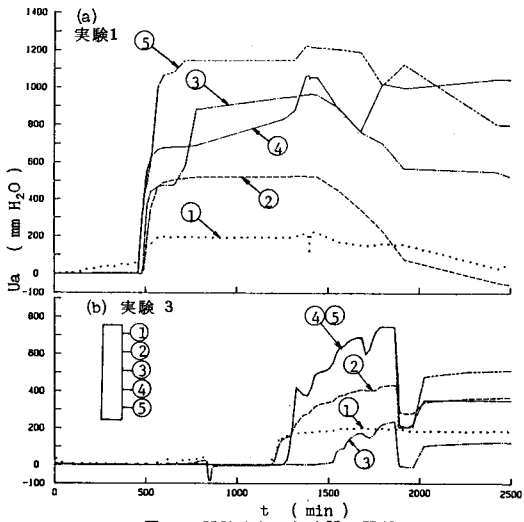


図-5 間隙空気圧と時間の関係